

منشاء هیدروکربن‌ها در رسبات سواحل جنوبی دریای خزر در محدوده استان‌های گلستان و مازندران

چکیده

در این تحقیق با انجام نمونهبرداری از رسبات سطحی بستر دریا نسبت به تعیین غلظت هیدروکربن‌های محلول و نامحلول آلیفاتیک (AHC) و آروماتیک (PAH) در سطح منطقه‌ای وسیعی از مرازهای آبی جنوب دریای خزر در مجاورت استان‌های گلستان و مازندران اقدام گردیده و مقادیر بدست آمده با غلظت‌های پیشین مقایسه گردیده است. بررسی غلظت کل این ترکیبات در رسبات ساحلی منطقه مورد مطالعه گویای پرائندگی آنها به ترتیب در بازه $14/3 - 39/1 \text{ mg/g}$ و $39/1 - 14/3 \text{ mg/g}$ با تمرکز بیشتر در قسمت‌های مرکزی استان مازندران است. بررسی مقایسه‌ای غلظت‌های یاد شده گویای آن است که علیرغم غلظت پایین این ترکیبات، هیدروکربن‌های فوق در سواحل ایرانی دریای خزر به طور محسوس دارای غلظتی بالاتر از سواحل ترکمنستان و قزاقستان می‌باشد. در این مطالعه همچنین به منظور تعیین منشاء هیدروکربن‌های آلیفاتیک (AHC) مشاهده شده نسبت به توسعه مجموعه‌ای از شاخص‌های کمی اقدام شده است. بررسی این شاخص‌ها گویای منشاء بیولوژیکی و غیرنفتی هیدروکربن‌های مشاهده‌ای عدتاً ناشی از واکس‌های تولیدی با گیاهان عالی خشکی، در محدوده جنوب شرقی دریای خزر است. این در حالی است که در مطالعات مشابه، هیدروکربن‌های مشاهده‌ای در سواحل جنوب غربی خزر در منتهی الیه سواحل غربی استان گیلان بیشتر از منشاء نفت‌های فسیلی گزارش شده‌اند. منشاء بیولوژیک هیدروکربن‌های مشاهده‌ای در این سواحل به این ترتیب، عدم تأثیرپذیری سواحل استان‌های مازندران و گلستان از آلاینده‌های نفتی ورودی به سواحل غربی این دریا در مجاورت کشور آذربایجان را نشان می‌دهد.

کلید واژه

منشاء، هیدروکربن، آلودگی نفتی، رسبات، شاخص، دریای خزر

سرآغاز

آن بخش اعظم آب ورودی به دریا را به خود اختصاص داده‌اند (مستقیمی، ۱۳۸۴). علاوه بر اهمیت بسیار بالای شیلاتی این دریا، نوار ساحلی جنوبی دریای خزر در مجاورت استان‌های شمالی ایران همه ساله پذیرای میلیون‌ها گردشگر داخلی و خارجی بوده و بی‌تردید این سواحل مهم‌ترین مؤلفه اکوتوریسمی ایران محسوب می‌شوند. وجود مناطق جمعیتی متعدد در سواحل این دریا ورود مقادیر چشمگیری از انواع فاضلاب‌های خانگی و صنعتی به آن محسوب شده در کنار رشد و توسعه فعالیت‌های اکتشاف، استخراج و انتقال نفت خام در کشورهای حاشیه، بویژه در سواحل مرکزی و جنوب غربی دریاچه خزر، حجم

دریای خزر به عنوان بزرگترین دریاچه دنیا یکی از مهم‌ترین پیکره‌های آبی سطح زمین از منظر اکوسيستم آبی محسوب می‌شود. دریای خزر با وسعتی در حدود $436,000 \text{ کیلومتر مربع}$ به درازای 1200 کیلومتر و پهنای $220 \text{ تا } 550 \text{ کیلومتر}$ در عرض شمالی 36° درجه و 33° دقیقه تا 47° درجه و 5° دقیقه و طولی شرقی 46° درجه و 43° دقیقه تا 54° درجه و 50° دقیقه واقع شده است. رودخانه‌های سواحل جنوبی آن، واقع در استان‌های شمالی ایران، فقط $3-2$ درصد آب ورودی به این دریا را تأمین می‌کنند، در حالی که رودخانه‌های شمالی

عمدتاً از فعالیت‌های بیولوژیکی^۲ منشاء می‌گیرند، مخلوط می‌شوند، در مطالعه آلدگی‌های نفتی رسوبات دریابی، تشخیص و تفکیک منشاء هیدروکربن‌های مشاهده‌ای در منطقه بسیار با اهمیت تلقی شده و قسمت اصلی از این نوع مطالعات را به خود اختصاص می‌دهد. به این ترتیب با تفکیک هیدروکربن‌های طبیعی و زمینه‌ای شکل گرفته از سنتز بیولوژیکی از هیدروکربن‌های نفتی با منشاء نفت‌های فسیلی، امکان تعیین منبع و نوع آلدگی مشاهده‌ای برای انجام اقدامات کنترلی و مقابله‌ای به نحو مطلوب‌تری ممکن می‌شود (Commendatore, et al., 2000). در این زمینه به منظور تعیین منشاء نفت و نوع مواد آلی پایه تشکیل دهنده نفت، تاکنون مجموعه‌ای وسیع از نشانگرهای زیستی ارائه شده است. نشانگرهای زیستی^۳، فسیل‌های مولکولی پیچیده‌ای هستند که از ارگانیسم‌های زنده مشتق می‌شوند. ساختمان شیمیایی اصلی این مشخصه‌ها در طول مسیر تحول ماده آلی به نفت یا اصلاً تغییر نکرده، یا تغییرات اندکی می‌کنند. نشانگرهای زیستی، می‌توانند در مورد نوع ماده آلی سنگ منشاء، شرایط محیطی رسوبی، بلوغ حرارتی نفت، درجات تخریب مولکولی، سیمای کانی‌شناسی و سن زمین‌شناسی محل، اطلاعات مفیدی در اختیار قرار دهند. نشانگرهای زیستی محدوده وسیعی از مشخصه‌ها اعم از میزان استران‌ها، نسبت پریستان به فیتان، نسبت فیتان به آلان نرمال ۱۸ کربنی (n-C18)، نسبت آستران به هویان، نسبت پریستان به آلان نرمال ۱۷ کربنی (n-C17) و ... را دربر می‌گیرد که هر یک برای اهداف خاصی مورد استفاده قرار می‌گیرند (Gawad, et al., 2008, Tolosa, et al., 2004). مطالعات گسترده انجام شده بر روی این مشخصه‌ها مبین محدوده تغییرات هر نشانگر در تعیین خصوصیات نفت است. غیر از نشانگرهای زیستی، مشخصه‌های دیگری معروف به مشخصه‌های غیربیومارکری اعم از ساخته بتری کربن^۴ (CPI^۳)، نسبت نفتن به پارافین، سولفور، آلان‌های نرمال دارای ۲۱ تا ۳۵ اتم کربن و ... وجود دارند که آنها نیز با توجه به طیف تغییرات، قرارگیری نفت دریابی شده در یکی از گروههای موجود را نشان خواهند داد. بررسی و آنالیز و مشخصه‌های غیرزیستی موجود در رسوبات به این ترتیب، اطلاعاتی جامع از جایای لکه نفتی، ماهیت و منشاء آلدگی هیدروکربنی و سرنوشت آن در نمونه‌های رسوب مورد بررسی در اختیار قرار خواهد داد. تاکنون مطالعات بسیار محدودی جهت تعیین منشاء

بسیار بالایی از انواع هیدروکربن‌های نفتی به این دریاچه طی سالیان اخیر ذکر شده است. جدا از منابع طبیعی، ورود هیدروکربن‌های نفتی، حفاری‌های نفتی، استخراج نفت، تصادفات محتمل، آب خن و نفت، انفجار خطوط لوله و چاههای نفت، تصادفات محتمل، آب خن و آب تعادل کشته‌ها، پسمندانهای تأسیسات ساحلی و فراساحلی استخراج نفت در کنار تخلیه مستقیم فاضلاب‌های شهری و صنعتی ورودی به دریا، یا رودخانه‌های متنه به آن عمدت‌ترین منابع ورود آلاینده‌های نفتی به دریای خزر گزارش شده‌اند (Effimoff, 2000; Karpinsky, 1992) (سنتر گزارش‌های کاپلین ۱۳۷۴). طی سالهای ۱۹۸۶ تا ۱۹۹۰ در حدود ۹۴ تا ۱۴۶ هزار تن مواد نفتی بتنهای از طریق رودخانه ولگا و طی سالهای ۱۹۸۸ تا ۱۹۹۰ مقدار ۲۲/۱ هزار تن آلاینده نفتی از رودخانه‌های ترک، اورال و کورا وارد دریای خزر شده است که آلدگی مناطق مجاور این رودخانه‌ها را به دنبال داشته است. هیدروکربن‌های نفتی مشاهده شده در دریا، به‌طور کلی می‌توانند از دو منشاء نفت بیولوژیکی (سنتر پلانکتونی، گیاهی و جانوری) و نفت خام، یا فسیلی نشأت گیرند. مواد واکسی با منشاء گیاهان خشکی، تجزیه و سوختن مواد بیولوژیکی و سنتر هیدروکربن‌ها ناشی از فعالیت گیاهان، فیتوپلانکتون‌ها، حیوانات، باکتری‌ها و جلبک‌های بزرگ مقیاس و میکروسکوپی اصلی‌ترین منابع بیولوژیک ورود هیدروکربن‌های آروماتیک و آلیافاتیک به دریاها تلقی می‌شوند در حالی که نفت‌های تولیدی براثر بلوغ حرارتی ترواش یافته از حوزه‌های نفتی طی فعالیت‌های استخراج و بهره‌برداری و هیدروکربن‌های حاصله از سوختن ناقص نفت منابع عده ورود نفت‌های فسیلی در طبیعت محسوب می‌شوند (Tolosa, et al., 2004). هیدروکربن‌های نفتی چه از منشاء فعالیت‌های بیولوژیکی، چه با منشاء فسیلی به محض ورود به دریا تحت تأثیر تغییرات فیزیکی (انحلال، انتقال، پخش، تبخیر و هوازدگی)، شیمیایی (اکسیداسیون و فتوکسیداسیون) و بیولوژیکی سرنوشت‌های متنوعی در محیط خواهند یافت. این آلاینده‌های آلی پس از سر گذراندن محدوده وسیعی از اتفاقات فیزیکی، شیمیایی و بیولوژیکی به دلیل خاصیت آبگریزی^۵ خود در نهایت جذب محيط‌های رسوبی می‌گردند (Tolosa et al., 2004). با توجه به آنکه هیدروکربن‌های ناشی از لکه‌های نفتی ورودی به دریا با هیدروکربن‌های زمینه‌ای یا ترکیبات آلی از پیش موجود در محیط که

مشاهداتی در مناطق شمالی خزر در مجاورت جزیره Tyulenii را بیولوژیک و از منشاء فیتوپلانکتون‌ها گزارش کرده‌اند. در مطالعه حاضر از طریق انجام نمونه‌برداری‌های متعدد از رسوبات سطحی دریاچه خزر در مجاورت استان‌های گلستان و مازندران ضمن ارائه و بررسی مقایسه‌ای غلظت هیدروکربن‌های آلیافاتیک (AHC)، هیدروکربن‌های آروماتیک (AH) و ترکیبات آروماتیک چندحلقه‌ای (PAHs) موجود در رسوبات، بر بنای نتایج حاصل از اندازه‌گیری‌های و از طریق توسعه شاخص‌های موجود، نسبت به تعیین ماهیت، نوع و منشاء هیدروکربن‌های موجود در رسوبات منطقه اقدام شده است.

مواد و روش بورسی روش تحقیق

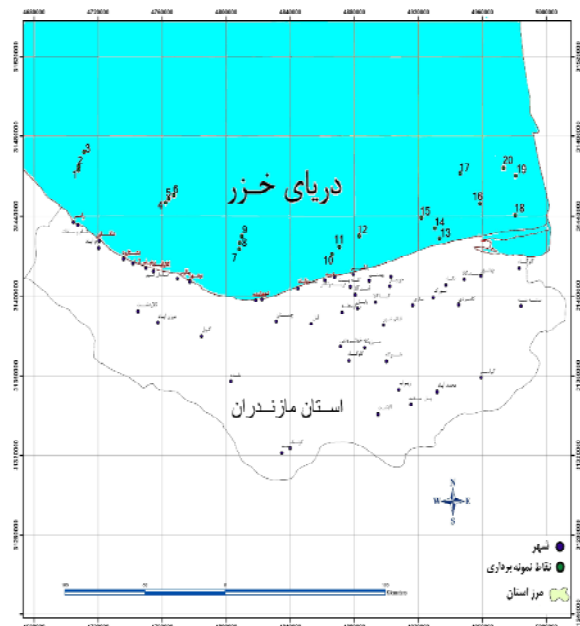
در این تحقیق، سواحل جنوبی دریای خزر در محدوده استان‌های مازندران و گلستان از طریق انجام نمونه‌برداری در طول نوار ساحلی در عمق‌های مختلف مورد مطالعه قرار گرفته است. در این مطالعه که در انتهای سال ۸۵ صورت پذیرفته با انجام نمونه‌برداری از ۲۰ نقطه مختلف در ۶ ناحیه مجزا در عمق‌های متفاوت نسبت به تعیین میزان غلظت هیدروکربن‌های نفتی در رسوبات ساحلی منطقه مورد مطالعه اقدام شده است. مشخصات و موقعیت ایستگاه‌های نمونه‌برداری در جدول شماره (۱) و شکل شماره (۱) آورده شده است.

نمونه‌برداری از رسوبات سطحی به‌وسیله نمونه‌بردار چنگکی^۱ انجام شده و نمونه‌ها پس از خشک کردن با روش انجمادی در شرایط استاندارد USEPA-SW-846 تا رسیدن به آزمایشگاه و قرائت میزان هیدروکربن‌های موجود حفظ شده‌اند. در این مطالعه، با توجه به تجمع بیشتر آلاینده‌ها در ذرات رسوبی ریزتر در مقابل ذرات درشت دانه به دلیل خاصیت جذب بالاتر این ذرات، اندازه‌گیری غلظت آلاینده‌های مورد بررسی بر روی رسوبات ریزدانه انجام پذیرفته است. از این‌رو رسوبات جمع‌آوری شده در آزمایشگاه پس از عبور دادن از الک میکرون آماده قرائت شده‌اند. موقعیت و مشخصات ایستگاه‌های نمونه‌برداری و درصد ذرات ریزدانه (μm) در هر یک از ایستگاه‌های فوق در جدول شماره (۱) قید شده است. اندازه‌گیری هیدروکربن‌های نفتی بر اساس روش #8015B SW-846 و اندازه‌گیری هیدروکربن‌های چند حلقه‌ای آروماتیک با استفاده از روش SW-846#8100 ارائه شده به‌وسیله سازمان حفاظت محیط زیست

هیدروکربن‌های نفتی در سطح دریاچه خزر گزارش شده است، به طوری که در این زمینه تنها مطالعات Tolosa و همکارانش (2004) و مطالعات Brekhovskikh و Nemirovskaya (2008) را می‌توان نام برد. Tolosa و همکاران در سال ۲۰۰۴ طی مطالعات گسترده خود از طریق انجام نمونه‌برداری‌های متعدد از رسوبات سطحی دریای خزر علاوه بر بررسی وضعیت آودگی رسوبات به هیدروکربن‌های نفتی، منشأ متفاوت هیدروکربن‌های مشاهده‌ای در نقاط مختلف این دریا را نیز مورد بررسی قرار داده‌اند.

ایشان در نتیجه مطالعات خود میزان غلظت کل هیدروکربن‌ها مجموع هیدروکربن‌های آلیافاتیک و آروماتیک در رسوبات نواحی مختلف دریای خزر را در محدوده $420-29 \text{ }\mu\text{g/g}$ گزارش کرده‌اند. غلظت‌های بالا از این مشخصه در قسمت‌های جنوبی غربی در مجاورت و پایین‌دست سواحل آذربایجان و غلظت‌های کمتر آن در نواحی شمالی و شرقی آن گزارش شده است. Tolosa و همکاران (2004) غلظت هیدروکربن‌های آروماتیک^۵ (PAHs^۴) در سواحل قزاقستان، روسیه، آذربایجان، ایران و ترکمنستان را به ترتیب در بازه ۷ تا ۲۹۴، ۶ تا ۳۴۵، ۳۳۸ تا ۲۹۸۸ و ۱۷۸۹ تا ۳۴۳ میکروگرم در کیلوگرم گزارش کرده‌اند. ایشان منشاء هیدروکربن‌های مشاهده‌ای در رسوبات قسمت‌های شمالی را غیرنفتی از منشاء فیتوپلانکتون‌ها و سیانوبکترها و منشاء آن در مجاورت سواحل ایران و قزاقستان را از واکس‌های ناشی از گیاهان عالی خشکی گزارش کرده است. ایشان همچنین منشاء هیدروکربن‌های مشاهده‌ای در قسمت‌های مرکزی و جنوبی غربی در مجاورت آذربایجان و سواحل شمال غربی ایران را نفتی و فسیلی عنوان کرده‌اند.

Nemirovskaya و Brekhovskikh (2008) نیز میزان غلظت هیدروکربن‌های آلیافاتیک در قسمت‌های شمالی دریاچه خزر را در محدوده $70-4557 \text{ }\mu\text{g/g}$ و غلظت هیدروکربن‌های آروماتیک را در محدوده بسیار وسیع $3/8-4800 \text{ }\mu\text{g/g}$ گزارش کرده‌اند. ایشان با استفاده از شاخص‌های موجود منشاء ترکیبات آلیافاتیک مشاهده شده در سواحل شمالی خزر در مجاورت کاتال Bakhtemir را ترکیبی از هر دو منشاء نفت فسیلی و بیولوژیک با غلبه نفت‌های منشاء گرفته از فعالیت‌های بیولوژیک گزارش کرده‌اند. ایشان منشاء هیدروکربن‌های



شکل شماره (۱): موقعیت محل‌های نمونه برداری از رسوبات ساحلی دریای خزر

شاخص‌های موجود

همان طور که اشاره شده به منظور تشخیص نوع، منشاء و ماهیت هیدروکربن‌های مشاهده‌ای در رسوبات، براساس نشانگرهای زیستی تعریف شده، تاکنون مجموعه‌ای از شاخص‌ها به شرح زیر توسعه داده شده است. این شاخص‌ها که نتیجهٔ مطالعات مجزای انجام گرفته بروی ترکیبات هیدروکربنی آلیفاتیک موجود در نفت است هر یک در یک بازهٔ خاص میان یکی از خصوصیات آلدگی مشاهده شده خواهد بود. این شاخص‌ها عبارتند از:

تعیین هیدروکربن غالب^۷ یا آلکان نرمالی^۸ با بیشترین غلظت:

به اعتقاد Clark و Finley (۱۹۷۳) برای نمونه‌های نفتی^۹ این شاخص بر مشاهده غلظت‌های بالا از آلکان ۱۸ کربنی (C18) تاکید دارد، در حالی که حضور غلظت‌های بالا از آلکان‌های نرمال ۱۵، ۱۷، ۱۹ و ۲۱ کربنی (C21، C19، C17، C15) شاخص حضور هیدروکربن‌های ناشی از انواع مختلف جبلک‌های دریایی بزرگ و میکروسکوپی است. فراوانی آلکان‌های ۱۷ کربنی (C17) در این میان شاخص پراکنده‌گی هیدروکربن‌های ناشی از سیانوباکترها و فیتوپلانکتون‌های دریایی است. آلکان‌های نرمال ۲۳، ۲۵، ۲۷ و ۲۹

امریکا و با دستگاه کروماتوگرافی گاز انجام گرفته است. به منظور آماده سازی و استخراج مواد آلی از رسوبات از روش SW-846#3540C معروف به روش SOXHLET استفاده شده است. در این روش با افزودن ماده جانشین مناسب و قرار دادن محلول در برابر حلال استخراج کننده به مدت ۱۶ تا ۲۴ ساعت و در نهایت جمع آوری و تغییط عصاره با دستگاه K-D، مواد آلی موجود در رسوبات استخراج شده‌اند. علاوه بر تعیین غلظت بخش‌های محلول و نامحلول هیدروکربن‌های آلیفاتیک و آروماتیک، غلظت آلکان‌های نرمال نفتی با تعداد کربن‌های مختلف (n-C36 تا n-C12)، پریستان و فیتان نیز محاسبه شده است. غلظت‌های ارائه شده از این ترکیبات در ادامه برای بررسی مقایسه‌ای مشاهده‌های ترکیبات و توسعهٔ شاخص‌های مرتبه با منشاء هیدروکربن‌های مشاهده‌ای مورد استفاده قرار گرفته‌اند.

جدول شماره (۱): مشخصات ایستگاه‌های نمونه برداری از رسوبات

بستر دریای خزر

ایستگاه	طول جغرافیایی	عرض جغرافیایی	عمق (متر)	درصدرات رسیدن (‰)
۱	۵۰°۳۶'۸۸۱"	۳۷°۱۴'۱۳۳"	۱۰	۷۹/۹
۲	۵۰°۳۶'۸۹۳"	۳۷°۱۵'۱۱۱"	۲۷	۶۴/۶
۳	۵۰°۳۸'۹۹۱"	۳۷°۱۹'۱۲۶"	۴۶	۶۱/۵
۴	۵۰°۸۰'۰۰۶"	۳۷°۰۴'۷۷۸"	۱۱	۴۷/۷
۵	۵۰°۸۱'۱۲۳"	۳۷°۰۵'۶۷۲"	۲۷	۴۵/۵
۶	۵۰°۸۳'۲۳۴"	۳۷°۰۷'۶۶۵"	۴۸	۴۳/۴
۷	۵۱°۵۱'۱۴۹"	۳۶°۴۸'۱۵۱"	۲۸	۴۶/۶
۸	۵۱°۵۱'۲۶۶"	۳۶°۴۹'۷۸۸"	۶۷	۳۷/۲
۹	۵۱°۵۲'۱۲۲"	۳۶°۵۱'۵۵۶"	۷۶	۳۴/۱
۱۰	۵۲°۳۰'۰۰۴"	۳۶°۳۵'۲۲۴"	۱۲	۶۰/۳
۱۱	۵۲°۳۳'۱۱۱"	۳۶°۳۷'۲۲۸"	۳۰	۵۸/۱
۱۲	۵۲°۴۱'۳۷۷"	۳۶°۴۰'۳۱۱"	۴۵	۴۲/۸
۱۳	۵۲°۱۵'۱۲۲"	۳۶°۵۱'۸۹۸"	۱۰	۲۴/۸
۱۴	۵۲°۱۳'۱۳۳"	۳۶°۵۴'۰۹۲"	۱۹	۶۰/۳
۱۵	۵۲°۰۷'۴۴۱"	۳۹°۴۹'۱۰۵"	۲۸	۶۳/۹
۱۶	۵۲°۳۳'۰۶۷"	۳۷۰۰'۱۳۷"	۱۵	۵۰/۷
۱۷	۵۲°۲۳'۶۶۱"	۳۷۰۰'۹'۶۹۱"	۲۰	۳۴/۱
۱۸	۵۲°۴۶'۸۷۳"	۳۶°۵۸'۲۸۳"	۱۰	۷۶/۸
۱۹	۵۲°۴۷'۰۲۲"	۳۷۰۰'۹'۰۵۲"	۱۲	۶۹/۷
۲۰	۵۲°۴۱'۹۱۲"	۳۷۰۰'۱'۰۵۳"	۱۶	۷۴/۲

و Farrington (1977) نیز این شاخص را به صورت مجموع غلظت آلkan‌های با تعداد کربن فرد نسبت به مجموع آلkan‌های با تعداد کربن زوج تعريف کرده‌اند. براساس این تعريف نیز نسبت فوق برای مشخصات نفت خام پارامتری در حدود ۱ است در حالی که وقتی هیدروکربن‌های محصول فرایندی‌های بیولوژیکی در نمونه مشاهده شده افزایش می‌یابند این نسبت بزرگ‌تر از ۱ (در محدوده ۳تا۴) خواهد شد (Hong, et al., 1995; Wang, et al., 1999).

نسبت آلkan‌های با تعداد اتم کربن فرد به زوج (Odd/ Even): آلkan‌های نرمال نفت دارای تعداد متنوعی از اتم‌های کربن هستند. تعداد اتم کربن فرد نسبت به زوج برای نفت خام غلبه خاصی ندارد و در محدوده ۱ تغییر می‌کنند درحالی که برای واکسن‌هایی گیاهی، آلkan‌های با زنجیره فرد ۸ تا ۱۰ برابر بیشتر از آلkan‌های با زنجیره کربن زوج هستند (Volkman, et al., 1992).

در واقع فراوانی بیشتر آلkan‌های نرمال فرد در محدوده وسیعی از n-C21 تا n-C33 مشخصه هیدروکربن‌های ساخته شده از فرایندی‌های بیولوژیکی است.

نسبت پریستان به فیتان (Pri/Phy): آلkan‌های ایزوپرونوید^{۱۲} معمول نفت یعنی پریستان و فیتان در اکثر نفت‌ها به مقدار زیاد موجود هستند بنابراین با توجه به فراوانی زیاد آنها، این ترکیبات به طور مستقیم توسط دستگاه GC-FID قابل اندازه‌گیری هستند. مقدار نسبت پریستان به فیتان در نفت‌های مختلف با هم تفاوت دارد.

از این نسبت برای تعیین منشاء آلاینده نفتی مشاهده‌ای می‌توان استفاده کرد. حضور این ترکیبات و فراوانی نسبی آن نسبت به سایر آلkan‌های نفت به عنوان شاخصی مناسب، میان وجود منشاء نفتی یا بیولوژیکی هیدروکربن‌های موجود در رسوبات است (Volkman and Maxwell, 1986). مقدار پایین این نسبت در محدوده ۰/۶ تا ۱ میان وجود هیدروکربنهای نفتی در منطقه است (Waseda and Nishita, 1998). در حالی که میزان بالای آن در محدوده ۱/۴ تا ۶/۷ میان حضور بیشتر پریستان در منطقه بوده و شاخص وجود هیدروکربن‌های با منشأ بیولوژیکی (ورودی‌های پلانکتونی و باکتریایی) است (Lecaros et al., 1991). تغییرات این نسبت همچنین میان میزان بلوغ نفت و نوع محیط رسوبی تشکیل دهنده نفت هستند.

کربنه (C29, C27, C25, C23) نیز شاخص گیاهان آوندی خشکی است. در کل آلkan‌های نرمال فرد با تعداد کربن کم میان هیدروکربن‌های ناشی از منشاء فیتوپلانکتون‌های دریایی و هومولوگ‌های دراز زنجیر (n-C27 و n-C29 و n-C31) نشان‌دهنده نفت مشتق شده از گیاهان عالی خشکی هستند (Broman, et al., 1987; Colombo, et al., 1989).

نسبت هیدروکربن‌های با وزن مولکولی کم به هیدروکربن‌های با وزن مولکولی زیاد (LMW¹⁰/HMW¹¹): این شاخص در واقع نسبت غلظت مجموع آلkan‌های نرمال با تعداد اتم کربن کمتر از ۲۰ نسبت به غلظت مجموع آلkan‌های نرمال با تعداد اتم کربن بیشتر از ۲۰ است.

مقدار نسبی ۱ برای مشخصه فوق برای هیدروکربن‌های با منشاء نفت خام، پلانکتون‌ها و جلیکها گزارش شده است، در حالی که این مقدار برای باکتری‌های رسوبی، حیوانات دریایی، گیاهان رده بالا مقدار نسبی کمتری نشان داده است (Gearing, et al., 1976). از منظر وضعیت تازگی نفت در محیط، مقدار بالای این شاخص به عنوان نشانه وجود نفت تازه، شناخته می‌شود.

نسبت n-C16: این نسبت مجموع غلظت همه آلkan‌های نرمال به غلظت آلkanی با ۱۶ اتم کربن (n-alkanes/n-C16) است. این نسبت برای نمونه‌های آلووده با نفت خام فسیلی، عددی کمتر از ۱۵ و برای نمونه‌های آلووده به هیدروکربن‌های بیولوژیکی عددی بزرگ‌تر از ۵۰ است (Clark and Finley, 1973).

به این ترتیب مشاهده مقادیر بالای غلظت آلkan‌های نرمال با تعداد اتم کربن فرد (n-C23, n-C25) و $n > 50$ (n-C25, n-C23) به طور آشکار میان توزیع هیدروکربن‌های با منشاء بیولوژیکی در نمونه مورد مطالعه خواهد بود.

شاخص CPI: این شاخص برای بیان منشاء آلkan‌های نرمال مشاهده شده در رسوبات استفاده می‌شود. شاخص اولویت کربن 2.(C27 + C29)/C26 + (2.C28) + C30 بصورت تعريف می‌شود (Boehm and Requejo, 1986). این شاخص برای هیدروکربن‌های ناشی از نفت خام عددی در حدود ۱ است، درحالی که برای گیاهان آوندی و برای رسوبات غیرآلووده به نفت‌های فسیلی در محدوده ۳ تا ۶ تغییر می‌کند (Colombo, et al., 1989).

خواهد بود در حالی که عدم حضور، یا غیاب UCM در رسوبات منطقه بدون شواهد شاخص آلوگی می‌تواند گواه حضور هیدروکربن‌های با منشاء بیولوژیکی در منطقه باشد. جدا از موارد مورد اشاره برای تعیین منشاء هیدروکربن‌های آلیافتیک مشاهده‌ای در رسوبات، تعیین منشاء ترکیبات غیرآلیافتیک، یا هیدروکربن‌های آروماتیک مشاهده‌ای در رسوبات نیز از جمله روش‌های تعیین منابع آلینده‌های نفتی مشاهده‌ای در منطقه محسوب می‌شود.

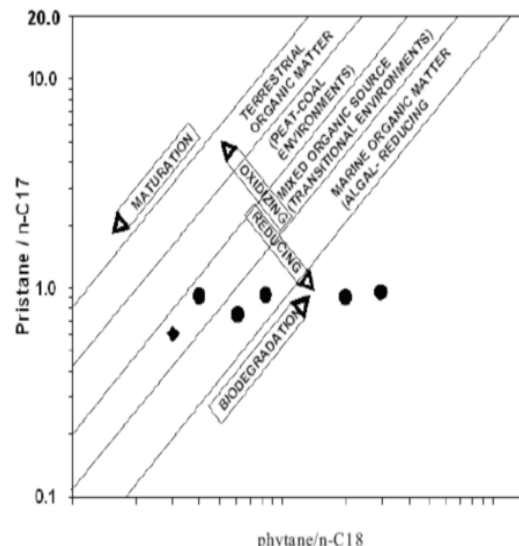
هیدروکربن‌های آروماتیک چندحلقه‌ای (PAHs) اصولاً براساس منبع خود به سه گروه ۱-هیدروکربن‌های آروماتیک چندحلقه‌ای (PAHs) (ناشی از بلوغ گرمایی^{۱۴}) که شامل همه ترکیبات والد با وزن مولکولی بیش از ۱۷۸ (غیر از Perylene)، ۲-هیدروکربن‌های آروماتیک چندحلقه‌ای فسیلی، یا PAHs الکلیت شده^{۱۵} و ۳-هیدروکربن‌های آروماتیک چندحلقه‌ای طبیعی، یا PAHs ناشی از تبدیل رسوبات به سنگ رسوی^{۱۶} تقسیم می‌شود (Tolosa et al., 2004).

با توجه به نوع و غلظت ترکیبات موجود در هر گروه و از طریق ترسیم مقدار نسبی هر نوع PAHs به درصد بروزی نمودار مثلثی، میزان نسبی و غالبه هر نوع PAHs در نمونه تعیین می‌شود. به منظور تشخیص و تفکیک راحت‌تر نوع PAHs غیر از روش ترسیمی، مجموعه‌ای از شاخص‌ها اعم از شاخص پیروزیک^{۱۷} Baumard, et al., (Phen/An, Wang, et al., 1999) نسبت (Benlahcen, et al., 1997) و میزان غلظت ترکیبات Perylene در نمونه (Baumard, et al., 1998b) نیز تاکنون ارائه شده است.

براساس مطالعات انجام گرفته بازه مشخص از وقوع هر یک از این شاخص‌های بیان کننده نوع PAHs مشاهده شده خواهد بود. بر این اساس برای تعیین نوع PAHs، قرائت و تعیین غلظت و نوع و ماهیت ترکیبات حلقوی موجود در نمونه‌های مورد مطالعه، امری ضروری است (Venkatesan, 1988).

در این مطالعه با به توجه به نوع داده‌های قرائت شده، هدف بررسی مقایسه‌ای غلظت ترکیبات آلیافتیک و آروماتیک در رسوبات سطحی محدوده مطالعه و تعیین منشاء هیدروکربن‌های آلیافتیک مشاهده‌ای از طریق توسعه شاخص‌های مرتبط است، از این‌رو از

شاخصی نسبت‌های Phytane/ n-C18 و Pristine/ n-C17: این نسبت‌ها برای ارزیابی میزان بلوغ گرمایی نفت و میزان نسبی تجزیه بیولوژیکی یا تخریب مولکولی آلکان‌های نرمال در نمونه به کار می‌روند. علاوه بر آن به اعتقاد Shanmugam (1985) با استفاده از گراف و از طریق ترسیم Pristine/n-C17 در مقابل Phytane/n-C18 به صورت شکل شماره (۲) نیز می‌توان نسبت به تعیین نوع و منشاء هیدروکربن‌های مشاهده‌ای در رسوبات اقدام کرد.



شکل شماره (۲): گراف تعیین کننده منشاء هیدروکربن‌های مشاهده‌ای در لکه نفتی براساس نسبت Pristane/n-C17 و Phytane/n-C18

میزان غلظت مشخصه UCM در نمونه

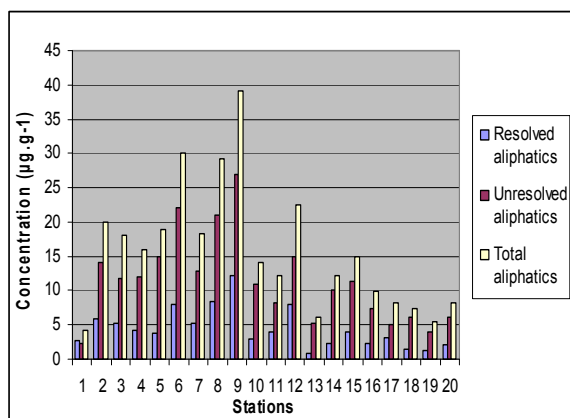
مشخصه UCM، یا مجموع ترکیبات نامحلول^{۱۸} در واقع به مجموع ترکیبات نامحلول آلیافتیک، یا ترکیبات غیرآروماتیک نفت اطلاق می‌شود. میزان این مشخصه به طور مستقیم به میزان هوازدگی، یا تجزیه مواد و وجود باقیمانده‌های نفتی بستگی دارد (Readman, et al., 1987, Venkatesan, et al., 1980).

در مناطقی با آلوگی مزمون نفتی، توزیع غلظت‌های بالای UCM و پراکندگی زیاد همه آلکان‌های نرمال نفت در محدوده باز C15 تا C40 میین حضور هیدروکربن‌های نفتی تجزیه شده در نمونه

شده در سایر نقاط گویای آن است که با وجود غلظت پایین این ترکیبات در سواحل ایران، هیدروکربن‌های آلیفاتیک در سواحل جنوبی خزر دارای غلظتی بالاتر از سواحل ترکمنستان و قزاقستان هستند و از این منظر با سواحل کشور روسیه قابل مقایسه‌اند.

مقدادر مشاهده شده از این نوع هیدروکربن همچنان بسیار پایین‌تر از مقدادر زمینه‌ای گزارش شده در قطب جنوب هستند که آن خود می‌تواند گویای عدم آلودگی این مناطق به این نوع از هیدروکربن‌ها باشد.

غلظت هیدروکربن‌های آروماتیک (AH) در رسوبات منطقه هیدروکربن‌های آروماتیک (AH) در واقع به مجموعه هیدروکربن‌های حلقوی موجود در نفت خام اطلاق می‌شود که شامل ترکیباتی بسیار پیچیده از صدها هیدروکربن آروماتیک هستند. هیدروکربن‌های آروماتیک به عنوان گسترده‌ترین نوع آلاینده‌های آلی بیشتر سمی و دارای بو هستند. غلظت مشاهده شده از هیدروکربن‌های آروماتیک در مناطق مورد مطالعه در این تحقیق در محدوده ۱۵۰۰۰ میکروگرم در گرم مشاهده شده است. غلظت قسمت‌های محلول و نامحلول هیدروکربن‌های آروماتیک مشاهده شده در این نمونه‌ها نیز به ترتیب در محدوده ۱۲۰۰ تا ۱۸۰۰ و ۱۱۰۰۰ تا ۱۵۰۰۰ میکروگرم در کیلوگرم مشاهده شده است. غلظت‌های بیشتر از این ترکیبات در قسمت‌های غربی محدوده مورد مطالعه در مجاور شهرهای نوشهر، چالوس و تنکابن مشاهده شده است. مقدادر این ترکیبات به تفکیک هر ایستگاه در شکل شماره (۴) قید شده است.



شکل شماره (۳): غلظت ترکیبات محلول، نامحلول و کل هیدروکربن‌های آلیفاتیک در ایستگاه‌های محدوده مورد مطالعه

بررسی منشاء PAHs مشاهده شده در منطقه صرفنظر شده و انجام این تحقیق به مطالعات آتی واکنار می‌شود.

بحث و نتیجه‌گیری

غلظت هیدروکربن‌های آلیفاتیک (AHC) در رسوبات منطقه

هیدروکربن‌های آلیفاتیک (AHC) ترکیباتی مشکل از هیدروژن و کربن بدون حلقه‌های آروماتیک هستند. در ترکیبات آلیفاتیک اتمهای کربن به صورت رشته‌های شاخه‌ای، غیرشاخه‌ای و حلقه‌های غیرآروماتیک (سیکلیک) به یکدیگر متصل می‌شوند.

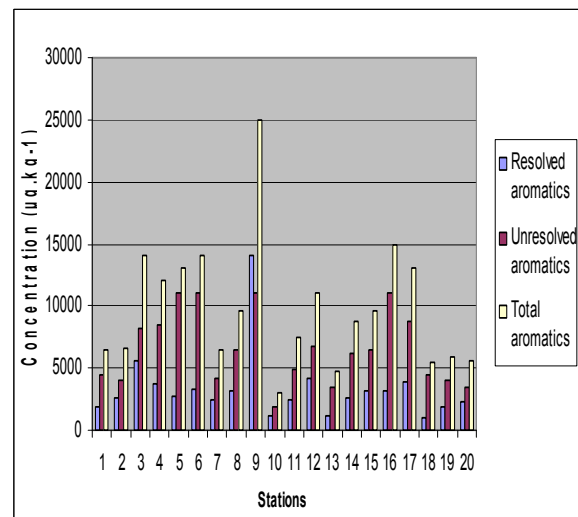
Tolosa و همکاران (2004) در مطالعات جامع خود در دریای خزر تغییرات غلظت هیدروکربن‌های آلیفاتیک (AHC) در سواحل جنوبی خزر در مجاورت سواحل ایران در محدوده ۱۱۳ تا ۱۱۳ میکروگرم در گرم، در سواحل آذربایجان در محدوده ۱۵۱۵-۳۹ میکروگرم در گرم، در سواحل ترکمنستان در محدوده ۱۴ تا ۱۸ میکروگرم در گرم، در سواحل روسیه در محدوده ۱ تا ۴۲ میکروگرم در گرم و در سواحل قزاقستان در محدوده ۲ تا ۱۴ گزارش کردند.

Nemirovskaya و همکارانش (2006) نیز در نتیجه تحقیق خود تغییرات غلظت هیدروکربن‌های آلیفاتیک در سواحل شمالی خزر را در محدوده ۱۴۲ تا ۲۰۰ میکروگرم در گرم و در کانال رودخانه ولگا ۳۸۸۱ میکروگرم در گرم گزارش کردند.

Nemirovskaya و Brekhovskikh (2008) نیز میزان غلظت هیدروکربن‌های آلیفاتیک در قسمت‌های شمالی دریاچه خزر را در محدوده ۷۰ تا ۴۵۵۷ میکروگرم در گرم گزارش کردند. این در حالی است که Nemirovskaya (2004) مقدار هیدروکربن‌های آلیفاتیک (AHC) زمینه‌ای را در محدوده قطب جنوب به عنوان منطقه‌ای دور از آلودگی‌های غیرطبیعی با منشاء انسانی را در حدود ۲۱۰ تا ۱۱۲ میکروگرم در گرم گزارش کرده است. بررسی غلظت کل هیدروکربن‌های آلیفاتیک در نمونه رسوبات سطحی مورد مطالعه در این تحقیق، گویای تغییرات غلظت این ترکیبات در بازه ۱۴/۳ تا ۲۷/۴ میکروگرم در گرم در سواحل مجاور استان‌های مازندران و گلستان با تمرکز بیشتر در قسمت‌های مرکزی ناحیه مورد مطالعه است (شکل شماره ۳). غلظت اجزای محلول و نامحلول هیدروکربن‌های آلیفاتیک در این رسوبات نیز به ترتیب در بازه ۷/۸ تا ۱۲/۲ و ۱۲/۲ تا ۲۷ میکروگرم در گرم در تغییر بوده است. بررسی مقایسه‌ای غلظت‌های یاد شده با مقدادر مشاهده

آرواتیک چندحلقه‌ای در سواحل شمالی خزر را در بازه ۶ تا ۷۶ میکروگرم در کیلوگرم و در کanal رودخانه ولگا را در بازه ۸ تا ۱۵۴ میکروگرم در کیلوگرم گزارش کرده‌اند.

Nemirovskaya و Brekhovskikh (2008) نیز در نتیجه مطالعات خود غلظت این هیدروکربن‌ها در سواحل شمالی را در محدوده ۴ تا ۴۸۰ میکروگرم در کیلوگرم گزارش کرده‌اند. Wang و Nemkaran (2001) غلظت PAHs در بندر Boston در ایالات متحده را در محدوده ۷۳۰۰ تا ۳۵۸۰۰ میکروگرم در کیلوگرم، Benlahcen و Nemkaran (۱۹۹۷) این مقدار را در خلیج Lazaret در کشور فرانسه در بازه ۱۶۰۰ تا ۴۸۰۹۰ میکروگرم در کیلوگرم، Baumard و Nemkaran (۱۹۹۸) مقدار PAHs در خلیج Arcachon در کشور فرانسه را در محدوده ۹۰۰ تا ۴۱۰۰ میکروگرم در کیلوگرم، Budzinski و Nemkaran (۱۹۹۷) مقدار فوق را در خور Gironde در فرانسه تا ۴۸۸۸ میکروگرم در کیلوگرم در حدود ۶۲۲ تا ۱۶۰۰ میکروگرم در کیلوگرم، Ebell و Burt (۱۹۹۵) این پارامتر را در شرق استرالیا در محدوده ۳۲۰۰ تا ۳۲۰ میکروگرم در کیلوگرم، Readman و Nemkaran (۲۰۰۲) مقدار آن در سواحل دریای سیاه را در حدود ۷۷ تا ۶۳۸ میکروگرم در کیلوگرم، Magi و Nemkaran (۲۰۰۲) مقدار پارامتر فوق در سواحل دریای آدریانیک را در محدوده ۱۲۴ تا ۱۵۰ میکروگرم در آنرا در بندر ویکتوریای هنگ‌کنگ در بازه ۳۵۰ تا ۴۵۰ میکروگرم در کیلوگرم، Cripps (۱۹۹۴) آنرا در محدوده جزیره Orkney جنوبی در قطب جنوب ۸ تا ۲۸۰ میکروگرم در کیلوگرم و Winkels و Nemkaran (۱۹۹۸) این مشخصه را در دلتای رودخانه ولگا در حدود ۴۰ گزارش کرده‌اند. نتایج نمونه‌برداری‌های انجام شده در تحقیق حاضر گویای تغییرات غلظت کل هیدروکربن‌های آромاتیک چندحلقه‌ای (PAHs) در رسوبات سطحی مورد مطالعه در بازه ۱۵۰ تا ۱۶۰ میکروگرم در کیلوگرم با غلظت بیشتر در قسمت‌های مرکزی استان مازندران است. این مقادیر به طور چشمگیری بیشتر از مقادیر گزارش شده در دیگر رسوبات ساحلی خزر در مجاورت کشورهای روسیه، ترکمنستان و قزاقستان است که این موضوع می‌تواند زنگ خطری برای آلودگی‌های خلیج روسیه در بازه ۶ تا ۳۴۵ میکروگرم در کیلوگرم، در سواحل قزاقستان در محدوده ۷ تا ۲۹۴ میکروگرم در کیلوگرم و در سواحل ترکمنستان در محدوده ۷ تا ۲۹۴ میکروگرم در کیلوگرم گزارش باشد. میزان غلظت ترکیبات فوق به تفکیک هر ایستگاه در شکل شماره (۵) قید شده است.



شکل شماره (۴): غلظت ترکیبات محلول، نامحلول و کل هیدروکربن‌های آромاتیک در ایستگاه‌های محدوده مورد مطالعه

هیدروکربن‌های آромاتیک چندحلقه‌ای (PAHs) در واقع به بخشی از هیدروکربن‌های آروماتیک نفت اطلاق می‌شود که از بههم پیوستن تعداد زیادی حلقه بنزنی به وجود می‌آیند.

ترکیبات گروه PAHs در میان هیدروکربن‌های آروماتیک، به دلیل سمی‌بودن بسیارزیاد از جمله آلاینده‌های اصلی محیط‌زیست تلقی می‌شوند.

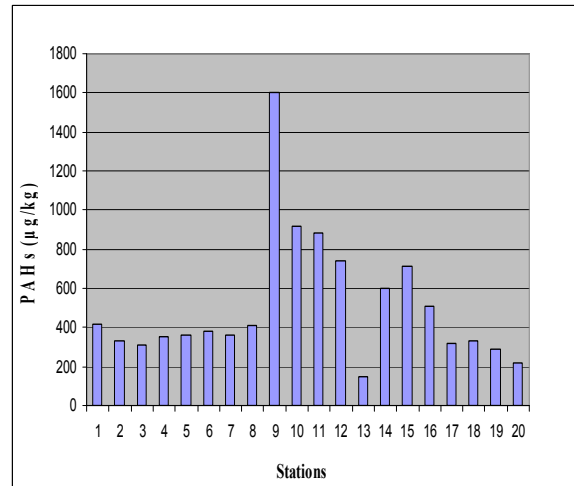
این ترکیبات که از احتراق^{۱۶} و اکسیداسیون ناقص مواد آلی، بویژه سوختهای فسیلی حاصل از بلوغ حرارتی حاصل می‌شوند، عاوقب زیستمحیطی شدیدی چون سمی کردن محیط زندگی جانداران، سرطانزایی و جهش‌زننده‌ی کلی (and Klungsoyr, 2000).

Tolosa و Nemkaran (۲۰۰۴) در نتیجه مطالعات خود در دریای خزر میزان غلظت هیدروکربن‌های آروماتیک چندحلقه‌ای (PAHs) در سواحل آذربایجان را در بازه ۲۹۸۸ تا ۳۳۸ میکروگرم در کیلوگرم، در سواحل ایران در محدوده ۹۴ تا ۱۷۸۹ میکروگرم در کیلوگرم، در سواحل روسیه در بازه ۶ تا ۳۴۵ میکروگرم در کیلوگرم، در سواحل قزاقستان در محدوده ۷ تا ۲۹۴ میکروگرم در کیلوگرم و در سواحل ترکمنستان در محدوده ۷ تا ۲۹۴ میکروگرم در کیلوگرم گزارش کرده‌اند.

نفت‌هایی با منشاء گیاهان عالی خشکی در سواحل ایران و قرقاستان را مورد تأکید قرار داده است. به دلیل عدم حضور غلظت‌های بالا از آلkan‌های نرمال، ۱۵، ۱۷، ۱۹ و ۲۱ کربن و به طور اخص آلkan‌های ۱۷ کربن، وجود هیدروکربن‌های منشاء گرفته از جلبک‌های دریایی، پلانکتون‌ها و سیانوباکترها در رسوبات این منطقه را می‌توان متوفی دانست. در ارتباط با نسبت هیدروکربن‌های با وزن مولکولی کم به هیدروکربن‌های با وزن مولکولی زیاد نیز می‌توان گفت میزان ناچز هیدروکربن‌های سبک یا مقادیر پایین نسبت فوق در رسوبات این ناحیه به طور آشکار مبین منشاء غیرنفتی هیدروکربن‌های مشاهده‌ای است. به اعتقاد Gearing و همکاران (1976) مقادیر ناچیز شاخص فوق در محدوده ۰/۳۰-۰/۰۷ گویای منشاء احتمالی هیدروکربن‌های مشاهده‌ای از حیوانات دریایی و گیاهان رده بالا است. مقادیر این نسبت برای آلkan‌های نرمال ۱۲ تا ۳۶ کربن مورد اندازه گیری در نمونه‌های رسوب مورد مطالعه در جدول شماره (۲) نشان داده شده است.

در ارتباط با شاخص نسبت n-C₁₆ نیز مشاهده شده است که نسبت غلظت‌های کل آلkan‌های نرمال موجود در رسوبات به میزان غلظت آلkan نرمالی با ۱۶ اتم کربن، در اکثر مناطق عددی بمراتب بزرگتر از ۵۰ بوده است. این نسبت به طور معنی‌داری در محدوده ۵۲-۱۴۷ تغییر می‌کند و فقط در دو ایستگاه ۱۸ و ۱۶ کمتر از ۵۰ است. نسبت بالای این شاخص (<۵۰) و فراوانی حضور آلkan‌هایی با ۲۷ و ۳۱ اتم کربن در این رسوبات به طور آشکار گویای وجود نفت‌هایی با منشاء بیولوژیکی در منطقه است. مقدار کمی نسبت فوق و نحوه تغییر آن در ایستگاه‌های مختلف ناحیه مورد مطالعه در شکل شماره (۷) آورده شده است.

برای تعیین منشاء هیدروکربن مشاهده‌ای مقادیر کمی شاخص اولویت کربن (CPI) در ایستگاه‌های مورد بررسی برآسas دو تعریف موجود محاسبه شده و در شکل شماره (۸) و جدول شماره (۲) آورده شده است. برآسas موارد مورد اشاره در قسمت قبل تغییرات معنی‌دار این شاخص در بازه ۳-۸ مبین منشاء غیرنفتی یا بیولوژیکی هیدروکربن‌های مشاهده‌ای در این ناحیه است. روند مشابه تغییرات این شاخص در ایستگاه‌های متفاوت منطقه مورد مطالعه، مبین الگوی تقریباً یکسان از پخش هیدروکربن‌های با منشاء بیولوژیکی در منطقه است.



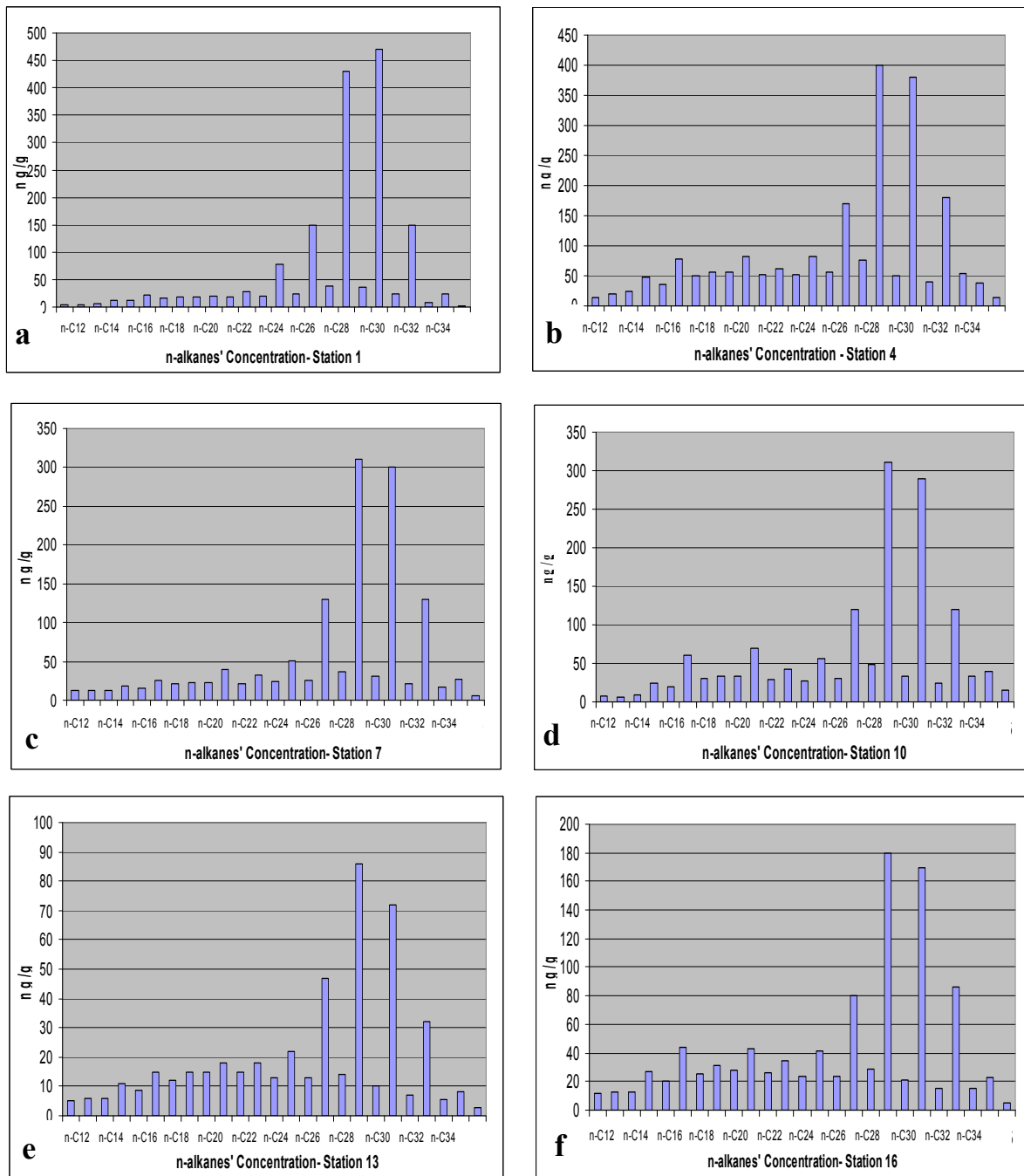
شکل شماره (۵): غلظت هیدروکربن‌های آروماتیک چندحلقه‌ای در ایستگاه‌های محدوده مورد مطالعه

منشاء و ماهیت هیدروکربن‌های مشاهده‌ای در منطقه

همان‌طور که بیان شده هیدروکربن‌های موجود در رسوبات ممکن است از منشاء نفت‌های فسیلی ناشی از فعالیت‌های انسانی و یا از منشاء فعالیت‌های بیولوژیکی جلبک‌ها، پلانکتون‌ها، باکتری‌ها، حیوانات دریایی و گیاهان آوندی خشکی باشد. در این بخش به منظور تعیین منشاء هیدروکربن‌های مشاهده‌ای در رسوبات ناحیه مورد مطالعه از طریق توسعه مجموعه‌ای از شاخص‌های موجود نسبت به بررسی وضعیت آلاینده‌های مشاهده‌ای در هر ایستگاه اقدام می‌شود.

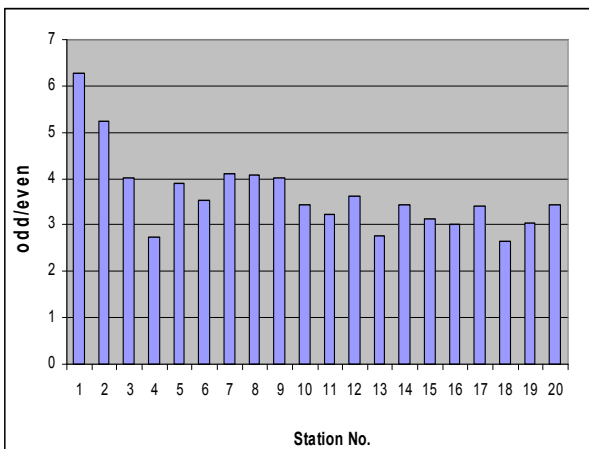
از منظر هیدروکربن‌های غالب، یا آلkan نرمالی با بیشترین غلظت مشاهده شده در هر ناحیه، در ادامه این بخش برای نمونه یکی از گرافهای نشان‌دهنده غلظت آلkan‌های نرمال در هر یک از ۶ ناحیه مورد بررسی در شکل شماره (۶) بهنمایش گذاشته شده است.

روند تغییرات غلظت آلkan‌ها در عمدۀ ایستگاه‌های نمونه‌برداری باوجود فاصلۀ زیاد این ایستگاه‌ها دارای الگوی مشابه است. مشاهده وجود فراوانی آلkan‌های نرمال با تعداد کربن فرد و زوج میان حضور شاخص آلkan‌های فرد کربن با تعداد کربن ۲۷، ۲۹، ۳۱ و ۳۳ در رسوبات منطقه مورد مطالعه است. با توجه به موارد برشمرده شده در بخش قبل، وجود مقادیر بالا از غلظت این آلkan‌ها بیانگر نفت مشتق شده از واکس‌های تولیدی با گیاهان عالی خشکی است. Tolosa و همکارانش (2004) نیز در مطالعات گسترده خود در دریای خزر غله

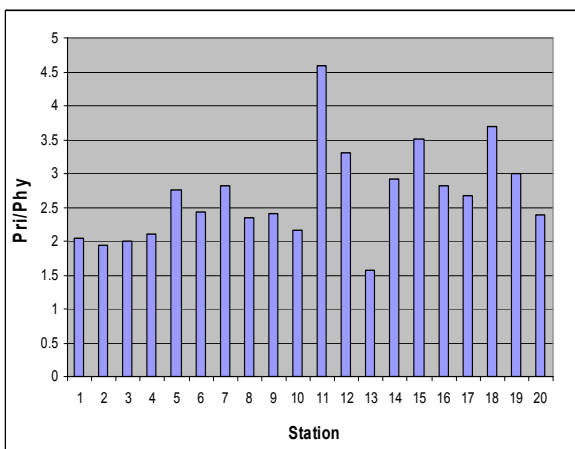


شکل شماره (۶): غلظت آلkan های نرمال با تعداد کردن ۱۳ الی ۳۶ (n-C12 تا n-C36) در ایستگاههای نماینده نواحی مورد بررسی (a) ایستگاه ۱ در ناحیه اول، (b) ایستگاه ۴ در ناحیه دوم، (c) ایستگاه ۷ در ناحیه سوم، (d) ایستگاه ۱۰ در ناحیه چهارم، (e) ایستگاه ۱۳ در ناحیه پنجم، (f) ایستگاه ۱۶ در ناحیه ششم

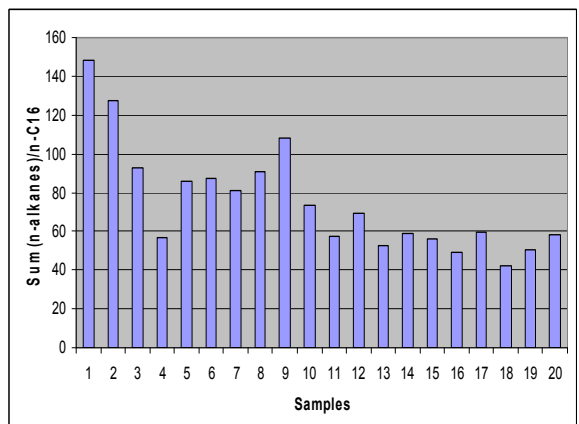
اندازه‌گیری میزان پریستان و فیتان که نشان‌دهنده منشاء هیدروکربن‌های مشاهده‌ای در نمونه رسوب هستند مبین تغییرات نسبت این دو آلкан ایزوپرونوید (Pri/Phy) در محدوده ۶/۱ تا ۴/۵ است (شکل شماره ۱۰). به طور میانگین فراوانی نسی ۲/۶ برابری پریستان به فیتان در این نمونه‌ها شاخصی دیگر مبنی بر وجود هیدروکربن‌های با منشاء بیولوژیکی در رسوبات است. مقادیر محاسبه شده این نسبت در جدول شماره (۲) آورده شده است.



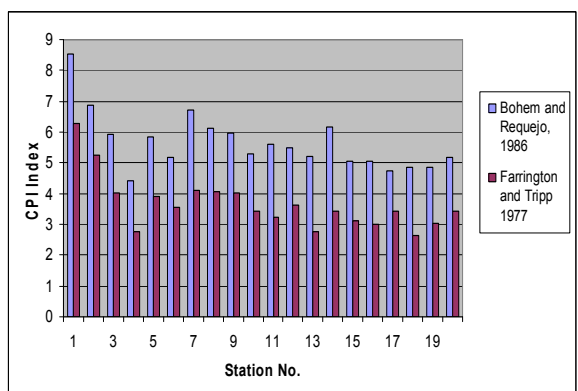
شکل شماره (۹): نسبت غلظت آلkan‌های نرمال فرد کربن به آلkan‌های با تعداد اتم کربن زوج



شکل شماره (۱۰): نسبت غلظت پریستان به فیتان در نمونه رسوبات مورد بررسی



شکل شماره (۷): نسبت غلظت‌های کل آلkan‌های نرمال به میزان غلظت آلkan نرمال با ۱۶ اتم کربن در ایستگاه‌های مورد مطالعه



شکل شماره (۸): میزان شاخص CPI براساس دو تعریف مورد اشاره در نمونه رسوبات مورد بررسی

ارزیابی غلظت هیدروکربن‌های مشاهده‌ای براساس شاخص نسبت آلkan‌های با تعداد اتم کربن فرد به زوج نیز مبین تغییر این نسبت در محدوده ۷/۶ تا ۲/۳ است. مقادیر محاسبه شده از این نسبت برای هر ایستگاه به طور مجزا در جدول شماره (۲) آورده شده است. میزان و نحوه تغییرات این شاخص در ایستگاه‌های مختلف ناحیه مورد مطالعه نیز در شکل شماره (۹) ترسیم گشته است. کمیت بالای شاخص فوق و غلظت بالای آلkan‌های نرمال فرد با تعداد کربن بالا بخوبی نشان‌دهنده منشاء بیولوژیکی هیدروکربن‌های مشاهده‌ای از واکس‌های گیاهی است.

جدول شماره (۲): مقادیر شاخص‌های محاسبه شده برای آلوگی نفتی به ترتیب ایستگاههای مورد مطالعه

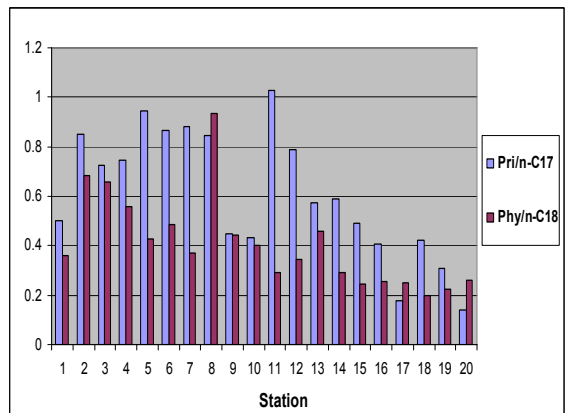
مشخصه	ایستگاههای نمونه برداری											
	۱	۲	۳	۴	۵	۶	۷	۸	۹	۱۰	۱۱	۱۲
LMV/HMV	۰/۰۸	۰/۱۳۲	۰/۰۱۴	۰/۰۱۳	۰/۰۱۰	۰/۰۱۴	۰/۰۱۰	۰/۰۱۲	۰/۰۱۰	۰/۰۱۰	۰/۰۱۰	۰/۰۱۰
$\sum n$ -alkane / n-C16	۱۷/۹	۱۷/۸	۹/۲/۷/۸	۵/۶/۷/۸	۸/۷	۸/۱/۳	۹/۰/۵	۱/۰/۸	۳/۱/۷	۵/۰/۵/۹	۲/۰/۳/۳	۲/۰/۳/۲
CPI (Boleem 1986)	۶/۸۵	۵/۹۱	۴/۴۰۲	۵/۱/۵۹	۶/۱۳	۵/۰/۳	۵/۰/۵	۵/۰/۳	۵/۰/۵	۵/۰/۳	۵/۰/۳	۵/۰/۳
CPI(Farrington 1977)	۵/۱۲۴	۴/۱۱۲	۲/۷/۱۰	۲/۱۵۴	۴/۱۲	۴/۰۸	۴/۰۳	۴/۰۳	۴/۰۳	۴/۰۳	۴/۰۳	۴/۰۳
Odd/Even	۵/۱۲۴	۴/۱۱	۲/۷/۱۰	۲/۱۵۴	۴/۱۱۲	۴/۰۸	۴/۰۳	۴/۰۳	۴/۰۳	۴/۰۳	۴/۰۳	۴/۰۳
Pri/Phy	۱/۹۳	۲	۲/۱۱۷	۲/۷/۱۵	۲/۱۴۴	۲/۱۸	۲/۱۳۵	۲/۱۱۷	۲/۱۱۷	۲/۱۱۷	۲/۱۱۷	۲/۱۱۷
Pri/n-C17	۰/۰۵	۰/۰۵	۰/۰۷۷	۰/۰۶۳	۰/۰۷۷	۰/۰۷۷	۰/۰۷۷	۰/۰۷۷	۰/۰۷۷	۰/۰۷۷	۰/۰۷۷	۰/۰۷۷
Phy/n-C18	۰/۰۵	۰/۰۵۰	۰/۰۵	۰/۰۵۹	۰/۰۵	۰/۰۵	۰/۰۵	۰/۰۵	۰/۰۵	۰/۰۵	۰/۰۵	۰/۰۵
UCM	۱/۴	۱/۴	۱/۱۸	۱/۲	۱/۵	۱/۲	۱/۲/۹	۱/۱	۱/۱	۱/۱	۱/۱	۱/۱

ملاحظات زیست محیطی مرتبط محسوب شده است. در این میان به دلیل تأثیرات متفاوت هیدروکربن‌های با منشاء بیولوژیک، یا نفت‌های فسیلی در آلوده‌سازی محیط دریا، بررسی ماهیت و منابع ورود این آلاینده‌ها به محیط دریا توجهات ویژه‌ای را در سالهای اخیر به خود جلب کرده است. در مطالعه حاضر بررسی مقایسه‌ای وضعیت جاری غلظت هیدروکربن‌های آلیافتیک و آروماتیک در رسوبات منطقه وسیعی از سواحل جنوبی دریاچه خزر انجام گرفته است. با توجه به گسترش مشاهده آلودگی‌های هیدروکربنی، بویژه در سواحل مرکزی و جنوب غربی خزر در مجاورت کشور آذربایجان و مرزهای آبی شمال غربی ایران، در این مطالعه بررسی منشاء هیدروکربن‌های مشاهده شده در سواحل جنوبی و جنوب شرقی خزر در مجاورت استان‌های گلستان و مازندران نیز انجام پذیرفته است. مجموعه مشاهدات انجام گرفته میان غلظت نسبتاً بالا، اما غیرآلوده هیدروکربن‌های آلیافتیک در این محدوده بوده است. غلظت‌های مشاهده شده از هیدروکربن‌های آروماتیک چند حلقه‌ای نیز در این ناحیه به طور محسوسی بالا و در سطح هشدار مشاهده شده است. در این تحقیق همچنین بررسی مجموعه شخص‌ها تجربی ارائه شده میان منشاء بیولوژیکی و غیرنفتی آلاینده‌های مشاهده شده در رسوبات منطقه است. منشاء بیولوژیک هیدروکربن‌های مشاهده شده از این منطقه بیشتر واکس‌های ناشی از گیاهان آلی خشکی تشخیص داده شده است. این موضوع به طور آشکار گویای این حقیقت است که آلاینده‌های نفتی منشاء گرفته از تأسیسات ساحلی و فراساحلی سواحل آذربایجان، باوجود آلودگی سواحل غربی گیلان تاکنون اثرگذاری شاخصی بر رسوبات سواحل مرکزی و شرقی این ناحیه نداشته‌اند و هیدروکربن‌های این ناحیه همچنان دارای منابعی غیر از آلاینده‌های نفتی ورودی است.

نکته قابل توجه روند تقریباً مشابه تغییر شاخص‌های اصلی محاسبه شده در منطقه، با وجود فاصله گاهی چند صد کیلومتری ایستگاه‌های نمونه‌برداری است. توجه به این نکته نیز ضروری است که بررسی جزئی آلاینده‌های مشاهده شده از در رسوبات در نهایت سیمایی جامع‌تر از وضعیت و ماهیت آلاینده‌های مشاهده شده در منطقه را در اختیار محققان و مهندسان محیط زیست قرار خواهد داد.

این موضوع به‌غیر از تعیین وضعیت آلودگی جاری سیستم، با تعیین منابع احتمالی آلاینده‌های مشاهده شده در منطقه، انجام اقدامات کاهشی، یا فعالیت‌های مهندسی در منطقه را هدفمندتر و کاراتر خواهد ساخت.

ارزیابی وضعیت شاخص‌های Pristine/n-C17 و Phytane/n-C18 در رسوبات مورد بررسی گویای تغییر این نسبت‌ها در محدوده ۰/۲ تا ۰/۹۴ است. ترسیم این نسبت‌ها بر روی گراف ارائه شده توسط Shanmugam (1985) نشان‌دهنده منشا بیولوژیکی متفاوت هیدروکربن‌های مشاهده شده از مواد آلی خشکی، زغال‌های گیاهی تا مواد آلی دریابی است. روند عمومی منشاً غیرنفتی هیدروکربن‌های مشاهده شده از کنار روند غیرمشابه تغییرات این نسبت‌ها در مناطق مختلف ناجیه مورد مطالعه گویای مشاهداتی احتمالاً غیریکسان و آمیخته کربن آلی در هیدروکربن‌های مشاهده شده در این منطقه است. مقادیر محاسبه شده برای نسبت‌های فوق برای هر ایستگاه در شکل شماره (۱۱) و جدول شماره (۲) آورده شده است



شکل شماره (۱۱): نسبت غلظت Pristine/ n-C17 و Phytane/ n-C18 در نمونه رسوبات مورد بررسی

در ارتباط با غلظت هیدروکربن‌های آلیافتیک نامحلول (UCM) نیز که گویای وجود، یا عدم وجود ترکیبات نفتی در منطقه هستند، محدوده پایین غلظت مشاهده شده از UCM در بازه ۲/۴ تا ۲۷ میکروگرم در گرم و غلظت بیشتر آلکان‌های فرد کربن با تعداد کربن بالا می‌تواند گویای عدم حضور هیدروکربن‌های نفتی یا غلبه حضور هیدروکربن‌های با منشاء بیولوژیکی در منطقه باشد.

نتیجه‌گیری

با توجه به نقش تخریبی آلاینده‌های نفتی در تهدید حیات بیولوژیک موجودات ساکن و متأثر از پیکره‌های آبی، بررسی و پایش وضعیت کیفی رسوبات دریاها و اقیانوس‌ها همواره از اهم

یادداشت‌ها

- | | |
|-------------------------------------|---|
| 1- Hydrophobic | 10- Low molecular weight hydrocarbons(LMW) |
| 2- Biogenic | 11- High molecular weight hydrocarbons(HMW) |
| 3-Biomarkers | 12- Isoprenoid alkanes |
| 4- Carbon preference indices | 13- Unresolved Complex Mixture |
| 5- Polycyclic aromatic hydrocarbons | 14- Pyrolytic PAHs |
| 6- Veen Grab Sampler | 15- Alkylated |
| 7- Major hydrocarbon | 16- Natural and/or diagenetic PAHs |
| 8- N-alkane | 17- Pyrogenic |
| 9-Oily | 18- Combustion |

منابع مورد استفاده

کاپلین، پ. ۱۳۷۴. وضعیت زیست محیطی دریای خزر در شرایط افزایش سطح آب دریا، ترجمه (جمانی ع، قدرت نما، ق)، مجله آب و توسعه، شماره ۱، سال سوم، ۱۹ صفحه.

مستقیمی، ب. ۱۳۸۴. حفظ محیط زیست دریای خزر، راهکارهای دیپلماتیک، انتشارات وزارت امور خارجه، چاپ اول، پاییز

Baumard,P., et al. 1998a. Origin and bioavailability of PAHs in the Mediterranean Sea from mussel and sediment records. *Estuarine, Coastal and Shelf Science* 47, 77–90.

Baumard,P., H.,Budzinski and P.,Garrigues. 1998b. PAHs in Arcachon Bay, France: origin and biomonitoring with caged organisms. *Marine Pollution Bulletin* 36, 577–586.

Benlahcen,K.T., et al .1997. Distribution and sources of polycyclic aromatic hydrocarbons in some Mediterranean coastal sediment. *Marine Pollution Bulletin* 34, 298–305

Boehm,P. and A.G,Requejo. 1986. Overview of the recent sediment hydrocarbon geochemistry of Atlantic and Gulf coast outer continental shelf environments. *Estuarine, Coastal and Shelf Science* 23, 29-58.

Broman,D., et al.1987. Fingerprinting petroleum hydrocarbons in bottom sediment, plankton, and sediment trap collected seston. *Marine Pollution Bulletin* 18 (7), 380-388

Budzinski,H., et al.1997. Evaluation of sediment contamination by polycyclic aromatic hydrocarbons in the Gironde estuary. *Marine Chemistry* 58, 85–97

Burt,J.S., G.F.,Ebell.1995. Organic pollutants in mussels and sediments of the coastal waters off Perth, Western Australia. *Marine Pollution Bulletin* 30, 723–732

Clark,R.C.Jr. and J.S.,Finley. 1973. Techniques for analysis of parallel hydrocarbons and for interpretation of data to assess oil spill effects in aquatic organisms. In *Proceedings of Joint Conference on Prevention and Control of Oil Spills*, pp. 161-172. American Petroleum Institute, Washington, DC.

Colombo,J.C., et al.1989. Determination of hydrocarbon sources using n-alkane and polycyclic aromatic hydrocarbon distribution indexes. Case study: Rio de La Plata Estuary, Argentina. Environmental Science and Technology, 23, 888-894

Commendatore,M.G., J.L.,Esteves and J.C.,Colombo.2000. Hydrocarbons in Coastal Sediments of Patagonia, Argentina: Levels and Probable Sources.Marine Pollution Bulletin 40, 11, 989-998

Cripps,G.C.1994. Hydrocarbons in the Antarctic marine environment: monitoring and background. International Journal of Environmental Analytical Chemistry 55, 3–13

Effimoff,I.2000. The oil and gas resource base of the Caspian region. Journal of Petroleum Science and Engineering 28, 157–159

Farrington,J.W.and B.W.,Tripp.1977. Hydrocarbons in western North Atlantic surface sediments. Geochimica Cosmochimica Acta 41, 1627–1641

Gawad,E.A., et al. 2008. Assessment of the Oil Pollution Extent in the Offshore Sediments, Abu Dhabi, UAE, Australian Journal of Basic and Applied Sciences, 2(3): 617-631

Gearing,P., et al.1976. Hydrocarbons in 60 northeast Gulf of Mexico shelf sediments: a preliminary survey. Geochimica et Cosmochimica Acta 40, 1005-1017

Hong,H., et al.1995. Environmental fate and chemistry of organic pollutants in the sediment of Xiamen harbor and Victoria harbor. Marine Pollution Bulletin 31, 229–236

Karpinsky,M.G.1992. Aspects of the Caspian Sea benthic ecosystem. Marine Pollution Bulletin 24, 384–389

Law,R.J., J.,Klungsoyr. 2000. The analysis of polycyclic aromatic hydrocarbons in marine samples. International Journal of Environment and Pollution 13, 262–283

Lecaros,O.P., P.,Alberti and M.S.,Astorga .1991. Hidrocarburos parafínicos en aguas del Estrecho de Magallanes. Revista de Biología Marina 26 (1), 61-74

Magi,E., et al. 2002. Distribution of polycyclic aromatic hydrocarbons in the sediments of the Adriatic Sea. Environmental Pollution 119, 91–98

Nemirovskaya,I.A.2004. Hydrocarbons in the Ocean (Snow— Ice—Water—Particulate Matter—Bottom Sediments) (Nauchn. mir, Moscow,) [in Russian].

Nemirovskaya,I.A., V.F.,Brekhevskikh, V.D.,Kazmiruk.2006. Aliphatic and Polycyclic Hydrocarbons in Bottom Sediments of the Near-Mouth Seaside off the Volga River,” Vodn. Resur. 33 (3), 300–310

Nemirovskaya,I.A., V.F.,Brekhevskikh .2008. Origin of Hydrocarbons in the Particulate Matter and Bottom Sediments of the Northern Shelf of the Caspian Sea, Oceanology, 48,1, pp. 43–53

Readman,J. W. .2002. Petroleum and PAH contamination of the Black Sea. Marine Pollution Bulletin 44, 48–62.

Readman,J.W., R.F.C.,Mantoura and M.M.,Rhead.1987. A record of polycyclic aromatic hydrocarbons (PAH) pollution obtained from accreting sediments of the Tamar estuary, UK: Evidence for nonequilibrium behaviour of PAH. *The Science of the Total Environment* 66, 73–94

Shanmugam,G.1985. Significance of coniferous rain forest and related organic matter in generating commercial quantities of oil, Gippsland basin, Australia. *AAPG Bull.*, 69(8): 1241-1254

Tolosa,I., et al. 2004. Aliphatic and aromatic hydrocarbons in coastal Caspian Sea sediments, *Marine Pollution Bulletin* 48, 44–60

Venkatesan,M.I., et al.1980. Hydrocarbons in age-dated sediment cores from two basins in the Southern California Bight. *Geochimica Cosmochimica Acta* 44, 789–802

Venkatesan,M.I.1988. Occurrence and possible sources of perylene in marine sediments—a review. *Marine Chemistry* 25, 1–27.

Volkman,J.K., J.R.,Maxwell.1986. Acyclic isoprenoids as biological markers. In: Johns, R.B. (Ed.), *Biological Markers in the Sedimentary Record*. Elsevier, Amsterdam, pp.1–42.

Volkman,J.K., et al.1992. Identification of natural, anthropogenic and petroleum hydrocarbons in aquatic sediments. *The Science of Total Environment* 112, 203–219

Waseda,A., H.,Nishita.1998. Geochemical characteristics of terrigenous- and marine-sourced oils in Hokkaido, Japan. *Organic Geochemistry* 28, 27–41

Wang,Z., et al .1999. Quantitative characterization of PAHs in burn residue and soot samples and differentiation of pyrogenic PAHs from petrogenic PAHs. *The 1994 Mobile Burn Study. Environmental Science and Technology* 33, 3100–3109

Wang,X.C., Y.X., Zhang and R.F.,Chen.2001. Distribution and partitioning of polycyclic aromatic hydrocarbons (PAHs) in different size fractions in sediments from Boston Harbon, United States. *Marine Pollution Bulletin* 42, 1139–1149.

Winkels,H.J., et al. 1998. Geochronology of priority pollutants in sedimentation zones of the Volga and Danube delta in comparison with the Rhine delta. *Applied Geochemistry* 13, 581–591